

УДК 622.831

**А.А. Барях, Е.А. Телегина**

**АНАЛИЗ УСЛОВИЙ РАЗРУШЕНИЯ ВОДОЗАЩИТНОЙ  
ТОЛЩИ ПРИ РАЗЛИЧНЫХ ВАРИАНТАХ КАМЕРНОЙ  
СИСТЕМЫ РАЗРАБОТКИ**

*Методами математического моделирования выполнен сравнительный анализ условий разрушения водозащитной толщи и установлены закономерности ее деформирования при различных вариантах камерной системы разработки.*

*Ключевые слова: математическое моделирование, камерная система разработки, напряженно-деформированное состояние, разрушение.*

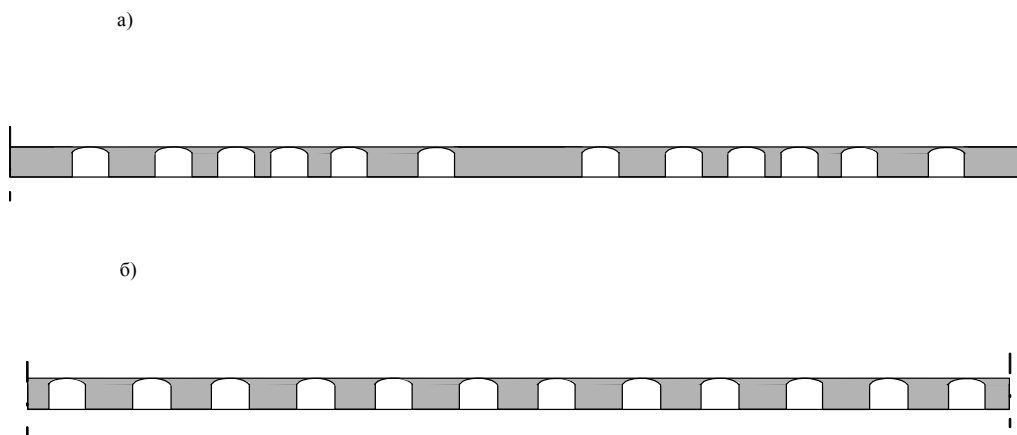
---

**Н**а основании анализа ряда нормативных документов при ведении горных работ на Верхнекамском месторождении калийно-магниевого солей предложен вариант камерной системы отработки сильвинитовой руды с оставлением междукамерных целиков переменных размеров при сохранении постоянной ширины очистных камер. Высказано мнение, что это позволит снизить потери полезных ископаемых и частично разгрузить ряд междукамерных целиков, предотвратив тем самым их разрушение. Однако, при такой постановке задачи, возникает целый ряд проблем, так как, априори, любые жесткие целики, оставляемые в выработанном пространстве, определяют неоднородный характер деформирования подработанного массива и повышают опасность формирования зон повышенной субвертикальной нарушенности в пластах водозащитной толщи (ВЗТ).

Целью исследований являлась оценка безопасных условий подработки ВЗТ при применении камерной системы с переменными по ширине междукамерными целиками. Для сравнения геомеханические расчеты выполнялись также для традиционной на Верхнекамском месторождении камерной системы разработки с поддержанием вышележащей толщи на целиках постоянной ширины, обеспечивающей аналогичный уровень извлечения калийной руды.

В основу расчетной схемы положен традиционный для условий Верхнекамского месторождения геологический разрез. Глубина ведения горных работ принималась равной 320 м. Для анализа изменения напряженно-деформированного состояния (НДС) подработанного массива во времени использовался реологический подход [1], основанный на модификации известного метода переменных модулей [2].

Параметры камерной системы отработки с переменными по ширине целиками представлены на рис. 1, а. Ширина целиков увеличивалась соответственно в следующем порядке — 2.9 м, 4.4 м, 7.9 м, 22 м и затем уменьшалась — 7.9 м, 4.4 м, 2.9 м. Параметры сопоставительного варианта с целиками постоянной ширины ( $b = 7,2$  м) приведены на рис. 1, б. Для обоих вариантов ширина очистных камер принималась равной  $a = 6,1$  м, вынимаемая мощность —  $m_0 = 5.4$  м.

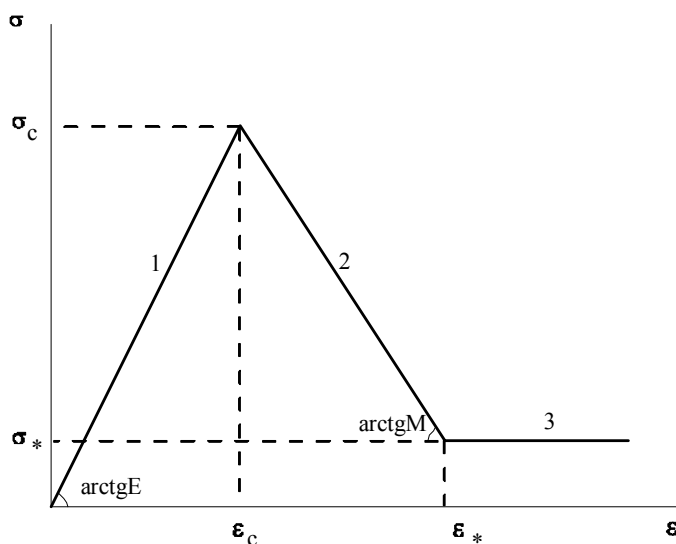


**Рис. 1. Параметры камерной системы разработки с целиками переменной (а) и постоянной ширины (б)**

В синтезированной геомеханической модели подработанного массива междукамерные целики отражались средой с одинаковыми по отношению к породам соответствующего пласта механическими свойствами. Их деформирование и разрушение описывалось трехзвенной кусочно-линейной аппроксимацией полной диаграммы нагружения (рис. 2), включающей допредельный (1), запредельный (2) участки, стадию остаточной прочности (3) и определяющей деформационное соотношение вида [3, 4]:

$$\sigma = a + b_0 \cdot \varepsilon, \quad (1)$$

$$\text{где } a = \begin{cases} 0 & 0 \leq \varepsilon \leq \varepsilon_C, \\ \sigma_C(1 + M/E), & \varepsilon_C \leq \varepsilon \leq \varepsilon_*, \\ \sigma_* & \varepsilon_* \leq \varepsilon. \end{cases}, \quad b_0 = \begin{cases} E & 0 \leq \varepsilon \leq \varepsilon_C, \\ -M & \text{при } \varepsilon_C \leq \varepsilon \leq \varepsilon_*, \\ 0 & \varepsilon_* \leq \varepsilon. \end{cases} \quad (2)$$



**Рис. 2. Кусочно-линейная аппроксимация кривой деформирования междукамерного целика**

Модуль деформации ( $E$ ) учитывался в соответствии с данными геологических исследований. Модуль спада целиков принимался равным  $M = (\sigma_c - \sigma_*) / (\sigma_c / E - \varepsilon_*)$ , предел остаточной прочности —  $\sigma_* = 0.1\sigma_c$ ,  $\varepsilon_*$  — деформации на пределе остаточной прочности.

Несущая способность междукамерных целиков определялась по формуле [5]:

$$\sigma_c = k_f \sigma_m, \quad (3)$$

где  $\sigma_m$  — агрегатная прочность пород в массиве,  $k_f$  — коэффициент формы, характеризующий влияние отношения расчетной ширины целиков ( $b$ ) к их расчетной высоте ( $m$ ). Данный коэффициент рассчитывался в зависимости от значения параметра  $\lambda_m = b/m$  из выражений [5]:

$$\text{при } 0 < \lambda_m \leq 0.5 \quad k_f = \sqrt{2\lambda_m}, \quad (4)$$

$$\text{при } \lambda_m \geq 0.5 \quad k_f = \beta_0(1 + \beta_m \lambda_m), \quad (5)$$

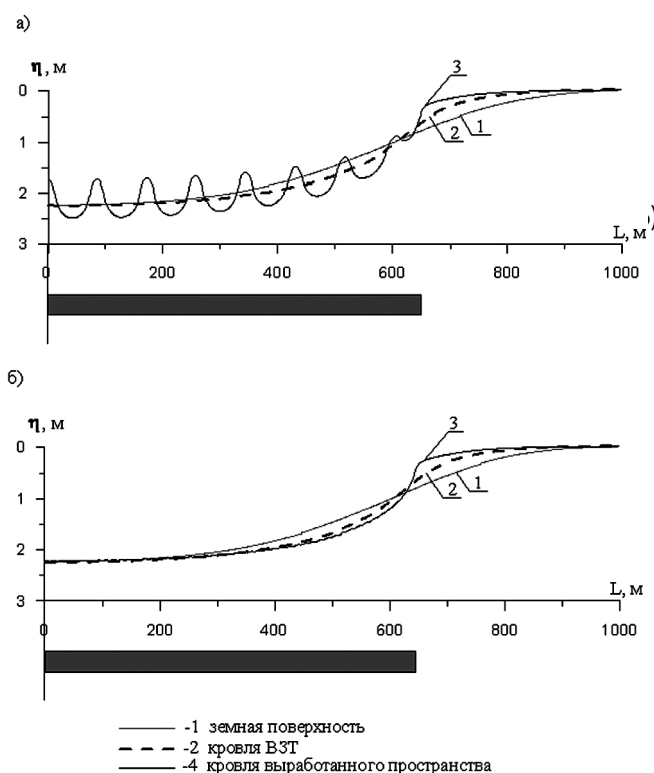
где  $\beta_0, \beta_m$  — параметры аппроксимации,  $\beta_0 = 1/1.53 \approx 0.654$ ;  $\beta_m = 1.06$ .

Анализ изменения напряженно-деформированного состояния ВЗТ проводился по мере развития процесса сдвижения вплоть до достижения конечных оседаний земной поверхности в зоне полной подработки:

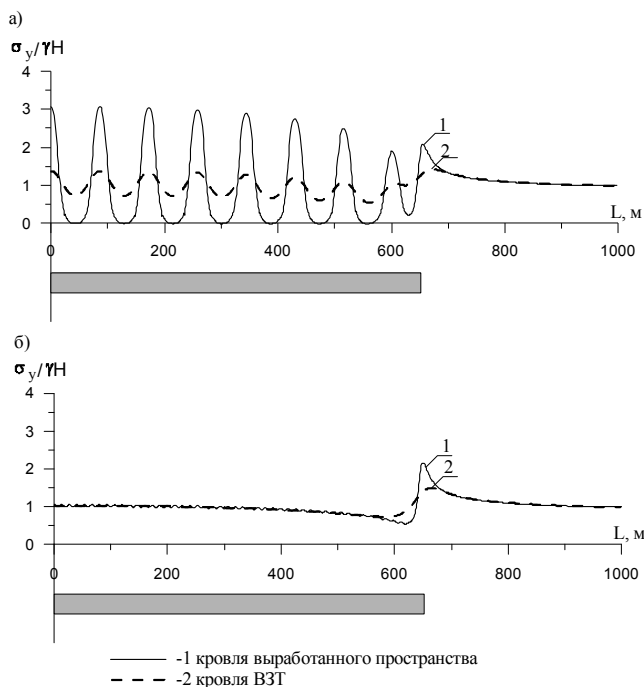
$$\eta_{\max} = 0,9m \cdot \omega,$$

где  $\omega$  — расчетный коэффициент извлечения при отработке одного пласта [5]. Для конкретных условий данной задачи максимальные конечные оседания земной поверхности составили  $\eta_k = \eta_{\max} = 2.23$  м.

Реализация этого подхода осуществлялась путем последовательного формирования выработанного пространства вследствие проходки очистных камер. На каждом этапе итерационной процедуры расчетов контролировалось напряженное



**Рис. 3. Расчетные оседания на конец процесса сдвижения при отработке с целиками переменной (а) и постоянной (б) ширины**



**Рис. 4. Распределение горного давления на конце процесса сдвижения при отработке с целиками переменной (а) и постоянной (б) ширины**

плоской упруго-пластической постановке. Данный подход позволяет непосредственно на стадии численной реализации локализовывать области пластических деформаций, которые в физическом смысле трактуются как зоны формирования техногенной нарушенности пород ВЗТ вследствие образования трещин сдвига и отрыва.

В качестве определяющего уравнения нелинейной связи напряжений и деформаций использовалась идеальная упругопластическая модель, которая является обобщением упругой и жесткопластической среды с внутренним трением. В рамках данной модели оценка состояния ВЗТ базировалась на анализе потенциальной возможности формирования в массиве трещин субвертикальной ориентации [6]. Для идеальной упругопластической среды в условиях плоского деформированного состояния (ПДС) связь между деформациями и напряжениями на допредельной стадии описывается законом Гука, а предельные напряжения в области сжатия определяются параболической огибающей кругов Мора [7]:

$$\tau_{\max} = \tau_{\text{пр}} = \sqrt{(\sigma_{\text{раст}} + \sigma_n)[2 \cdot \sigma_{\text{раст}} - 2\sqrt{\sigma_{\text{раст}}(\sigma_{\text{раст}} + \sigma_{\text{сж}})} + \sigma_{\text{сж}}]}, \quad (7)$$

где  $\sigma_{\text{сж}}$  и  $\sigma_{\text{раст}}$  — пределы прочности на сжатие и растяжение,  $\sigma_n$  - нормальное напряжение в плоскости действия  $\tau_{\max}$ .

состояние междукамерных целиков, которое сопоставлялось с их несущей способностью. При превышении действующей нагрузки прочности целиков производилось ее снижение по ниспадающей (запредельной) ветви полной диаграммы деформирования (рис. 2). Дальнейшее развитие процесса сдвижения вплоть до его завершения в геомеханической модели отражалось путем уменьшения механических свойств неразрушенных опорных междукамерных целиков.

Математическое моделирование напряженно-деформированного состояния подработанного массива проводилось в

В выражении (1.7) напряжения  $\tau_{\max}$  и  $\sigma_n$  вычисляются через значения главных напряжений:

$$\tau_{\max} = (\sigma_1 - \sigma_3) / 2; \quad \sigma_n = (\sigma_1 + \sigma_3) / 2, \quad (8)$$

где для условий ПДС главные напряжения определяются по формулам:

$$\sigma_1, \sigma_3 = \frac{1}{2} \left[ (\sigma_x + \sigma_y) \pm \sqrt{(\sigma_x - \sigma_y)^2 + 4\tau_{xy}^2} \right]. \quad (9)$$

В области растяжения критическое напряжение ограничивалось пределом прочности на растяжение:

$$\sigma_1 = \sigma_{\text{раст}}. \quad (10)$$

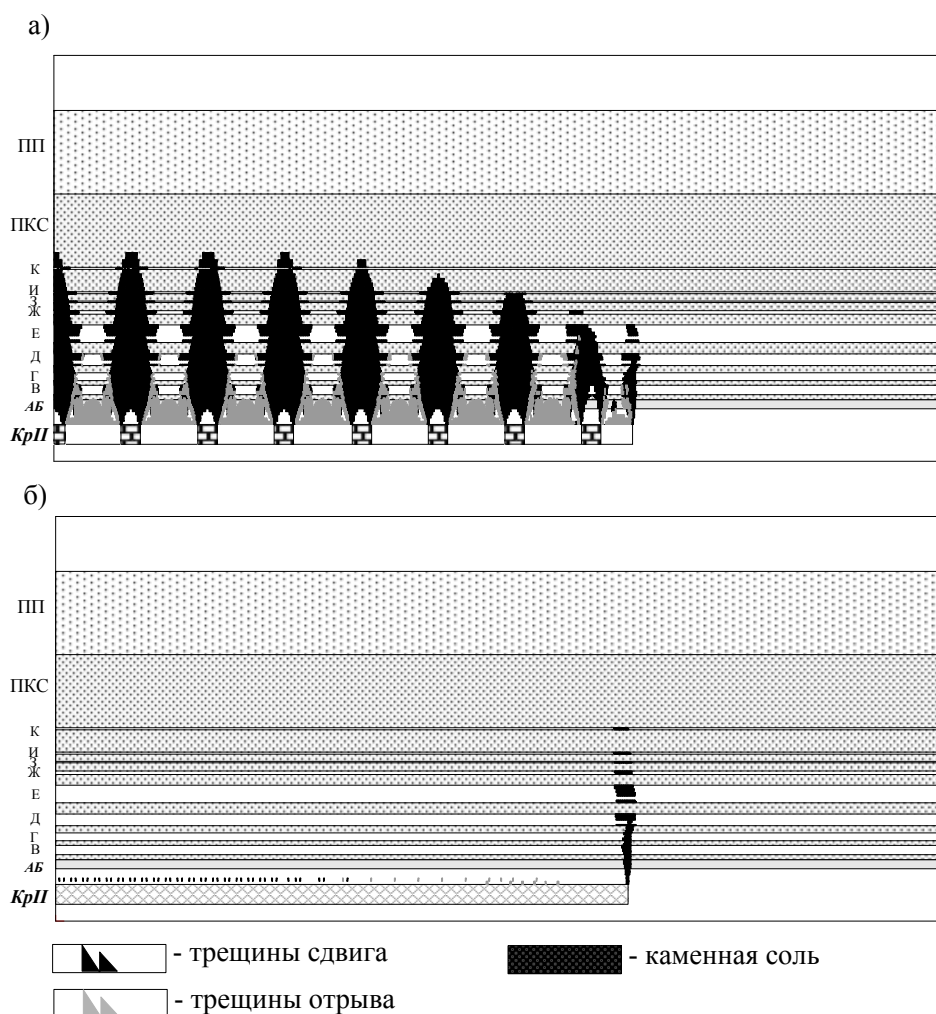
Прочностные характеристики пород, слагающих массив, в расчетах корректировались с учетом коэффициентов длительной прочности для соляных пород и структурного ослабления для пород надсоляной толщи.

Реализация математического моделирования осуществлялась по стандартной схеме метода конечных элементов, основанном на вариационном принципе Лагранжа [8].

Решение упругопластической задачи основывалось на методе начальных напряжений [9, 10], применяемом при решении нелинейных задач. Если значения главных напряжений  $\{\sigma^{вп}\}$  в произвольном конечном элементе, определенные по закону Гука, превышали предельные  $\{\sigma^{п}\}$  ( $\tau_{п}$  или  $\sigma_{\text{раст}}$ ), то в рамках итерационной процедуры производилась их корректировка на величину  $\{\Delta\sigma\} = \{\sigma^{вп}\} - \{\sigma^{п}\}$ . В дальнейших расчетах  $\{\Delta\sigma\}$  принимались в качестве начальных напряжений и на каждой итерации суммировались. Вычислительный процесс завершался, когда все компоненты  $\{\Delta\sigma\}$  во всех конечных элементах не превышали заданную малую величину.

По результатам математического моделирования при отработке продуктивных пластов с поддержанием вышележащей толщи на целиках переменных размеров, вследствие наличия широких опорных целиков, на конец процесса сдвижения формируется выраженное неоднородное поле перемещений в зоне полной подработки (рис. 3, а). Причем, градиент их изменения увеличивается в направлении выработанного пространства. При отработке с оставлением междукамерных целиков постоянной ширины процесс деформирования подработанного массива является более сглаженным (рис. 3, б).

Отработка с переменными целиками характеризуется также крайне неоднородным распределением вертикальных напряжений в пластах ВЗТ (рис.4,а). Максимальная концентрация напряжений локализуется в пределах опорных междукамерных целиков и на конец процесса сдвижения достигает  $3,1 \gamma H$  над кровлей выработанного пространства и  $1,35 \gamma H$  в кровле ВЗТ. При этом интенсивность напряжений в краевой части выработанного пространства составляет соответственно  $2,0 \gamma H$  и  $1,3 \gamma H$  (рис. 4, а).



**Рис. 5. Характер формирования зон техногенной нарушенности при отработке с целиками переменной (а) и постоянной (б) ширины**

Для варианта ведения горных работ с целиками постоянной ширины, как и следовало ожидать, максимум горного давления приурочен к краевой части выработанного пространства и на конец процесса сдвижения составляет  $2,2 \gamma H$  над кровлей выработанного пространства и  $1,4 \gamma H$  в кровле ВЗТ (рис. 4, б). В зоне полной подработки вертикальные напряжения на конец процесса сдвижения близки к  $\gamma H$  (рис. 4, б).

Таким образом, применение системы разработки с целиками переменной ширины несколько снижает нагрузку на краевую часть ВЗТ, существенно увеличивая ее в зоне полной подработки.

На конец процесса сдвижения при отработке с целиками переменных размеров (рис. 5, а) формируются многочисленные области техногенной нару-

шенности пластов ВЗТ, приуроченные к опорным целикам и простирающиеся от кровли выработанного пространства до нижней части ПКС. Кроме того, в пределах «камер», образованных вследствие разрушения менее широких целиков, прогнозируются вывалы породы значительной мощности. В краевой части ВЗТ разрушения менее масштабны. Здесь наблюдается сквозная область нарушения лишь в нижней части ВЗТ.

При отработке с целиками постоянной ширины (рис. 5, б) значимые нарушения сплошности ВЗТ связаны только с ее краевой частью. Здесь отмечается разрушение всех карналлитовых пластов и пластов каменной соли, залегающих в нижнем интервале ВЗТ. Остальные пласты каменной соли сохраняют свою целостность.

Таким образом, камерная система разработки с поддержанием ВЗТ на целиках переменных размеров существенно повышает техногенную нагрузку на пласты ВЗТ и создает угрозу безопасным условиям ее подработки.

---

#### СПИСОК ЛИТЕРАТУРЫ

1. Барях А.А., Самоделкина Н.А. Об одном подходе к реологическому анализу геомеханических процессов // Физико-технические проблемы разработки месторождений полезных ископаемых, 2005. — № 6. — С. 32—34.
2. Амосин Б.З., Линьков А.М. Об использовании переменных модулей при решении одного класса задач линейно-наследственной ползучести. — Механика твердого тела, 1974, № 6.
3. Барях А.А. Деформирование и разрушение соляных пород и массивов. Автореферат диссертации на соискание ученой степени доктора технических наук. Новосибирск, 1993.
4. Линьков А.М., Петухов И.М., Тлеужанов М.А. Новые методы расчета целиков // Физико-технические проблемы разработки месторождений полезных ископаемых. 1984. № 3. С. 13-17.
5. Указания по защите рудников от затопления и охране подрабатываемых объектов в условиях Верхнекамского месторождения калийных солей. — С.-Пб. 2008. — 95 с.
6. Барях А.А., Еремина Н.А., Грачева Е.А. Оценка условий развития трещин в подработанном соляном массиве // Физико-технические проблемы разработки месторождений полезных ископаемых. 1994. № 5. С. 84.
7. Кузнецов Г.Н. Механические свойства горных пород. М.: Углетехиздат, 1947.
8. Зенкевич О. Метод конечных элементов в технике. — М.: Мир, 1975.
9. Фадеев А.Б. Метод конечных элементов в геомеханике. — М.: Недра, 1987.
10. Барях А.А. Геомеханические аспекты защиты калийных рудников от затопления // Изв.ВУЗов. — Горный журнал, 1995. № 6. **ГИАБ**

---

#### КОРОТКО ОБ АВТОРАХ

Барях Александр Абрамович — доктор технических наук, профессор, директор, Bar@Mi-Perm.ru,

Телегина Елена Александровна — кандидат технических наук, старший научный сотрудник, Elena.T@Mi-Perm.ru,  
Горный институт УрО РАН.

